

СПЕКТРОСКОПИЯ АТМОСФЕРНЫХ ГАЗОВ

УДК 539.195

А.Д. Быков, В.А. Капитанов, С.М. Кобцев, О.В. Науменко

РЕГИСТРАЦИЯ И АНАЛИЗ ПОЛОСЫ ПОГЛОЩЕНИЯ $5v_3 HD^{16}O$

Проведена регистрация спектра поглощения молекулы $HD^{16}O$ в видимом диапазоне около 0,59 мкм. Использовался оптико-акустический спектрометр с лазером на красителе. Существенными особенностями эксперимента являются внутристационарное расположение оптико-акустических детекторов и двухчастотный режим генерации лазера, что существенно увеличивает чувствительность спектрометра, улучшает управляемость и стабилизацию генерации.

Проведена идентификация линий в спектре, определены колебательно-вращательные уровни энергии для состояния (005), центр полосы; вращательные и центробежные постоянные.

Детальное изучение спектров высокого разрешения H_2O и ее основных изотопомеров необходимо для интерпретации атмосферных спектров, расчета поглощения малыми примесями атмосферы в окнах прозрачности. Поскольку молекула $HD^{16}O$ представляет собой несимметричную изотопную модификацию H_2O , то исследование ее спектров дает дополнительную информацию для определения потенциальной функции воды.

Колебательно-вращательная структура энергетического спектра $HD^{16}O$, особенно в области высоких энергий, изучена слабо. В литературе до последнего времени имелись данные только о 14 колебательных состояниях с квантовыми числами v_1, v_2, v_3 и энергией $E \leq 9300 \text{ см}^{-1}$ (соответствующие литературные ссылки имеются в [1]). Исследование полосы $3v_3$, предпринятое в [1], расширило диапазон изученных энергий для $HD^{16}O$ до 10600 см^{-1} . В данной работе представлены результаты анализа спектра поглощения $HD^{16}O$ в диапазоне около 0,59 мкм.

Предварительно, по имеющимся в литературе данным, были уточнены гармонические частоты и ангармонические постоянные $HD^{16}O$. Затем рассчитывались центры полос поглощения около 0,59 мкм. Результаты расчета приведены в табл. 1.

Таблица 1

Центры полос поглощения $HD^{16}O$ в районе 0,59 мкм (см^{-1})

Верхнее состояние	Центр полосы
114	17832
005	16899
421	16684
104	16525
501	16491
203	15962

Анализ данных табл. 1 позволяет выбрать в качестве наиболее перспективной для регистрации полосу $5v_3$. Во-первых, она должна быть одной из наиболее интенсивных, во-вторых, ее центр попадает в центр спектрального диапазона излучения лазера на красителе родамин 6G, который предполагалось использовать в эксперименте.

Исследование спектров поглощения высоковозбужденных состояний $HD^{16}O$ с высоким разрешением затруднено теми обстоятельствами, что, во-первых, коэффициенты поглощения линий малы и, во-вторых, поскольку получение $HD^{16}O$ связано с обратимой реакцией изотопного обмена



то необходимо разделение спектров поглощения молекул H_2O , $HD^{16}O$, D_2O .

Эксперимент. В спектрометрах на базе узкополосных лазеров ($\Delta\nu \leq 0,001 \text{ см}^{-1}$) эффективное разделение возможно при одновременной регистрации поглощения смеси и спектра одной из компонент с использованием двух многоходовых или оптико-акустических ячеек [2]. Однако чувствительность таких спектрометров невелика и определяется длиной оптического пути или мощностью лазерного источника соответственно. В оптико-акустических спектрометрах пороговую чувствительность можно уменьшить в 10–100 раз, поместив оптико-акустические детекторы (ОАД) внутри резонатора лазера [3]. Такой подход был реализован в оптико-акустическом спектрометре, схема которого приведена на рис. 1. В спектрометре использована базовая модель автосканируемого непрерывного узкополосного лазера на красителях [4]. Селектирующими элементами лазера являются тонкий эталон Фабри-Перо (ТЭ) и двулучепреломляющий фильтр (ДФ). Лазер генерирует в двухчастотном режиме, частоты генерирующих мод отличаются на $\approx 1,8 \text{ ГГц}$. Характеристики селектирующих элементов лазера приведены в [3]. Пропускание выходного зеркала составляет 0,5%.

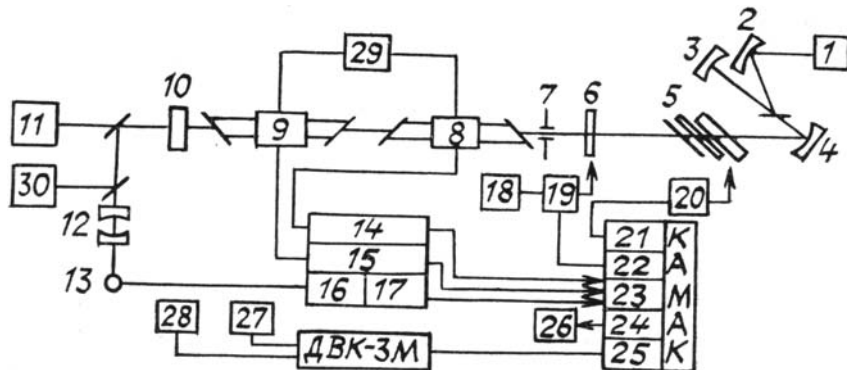


Рис. 1. Схема оптико-акустического спектрометра на базе автосканируемого непрерывного узкополосного лазера на красителях: 1 – аргоновый лазер накачки; 2 – зеркало накачки; 3 – конечное зеркало лазера на красителях; 4 – коллимирующее зеркало лазера на красителях; 5 – двулучепреломляющий фильтр; 6 – тонкий эталон Фабри–Перо; 7 – диафрагма; 8 – первый ОАД; 9 – второй ОАД; 10 – выходное зеркало лазера на красителях; 11 – система визуального контроля спектра генерации лазера; 12 – «маркер» (конфокальный интерферометр Фабри–Перо); 13 – фотоприемник; 14, 15 – фазочувствительные нановольтметры; 16 – селективный усилитель; 17 – синхронный детектор; 18 – низкочастотный генератор; 19 – электромеханический привод тонкого эталона; 20 – электромеханический привод двулучепреломляющего фильтра; 21 – модуль управления шаговым двигателем; 22 – 12-разрядный ЦАП; 23 – 10-разрядный АЦП с коммутатором; 24 – привод плоттера; 25 – контроллер К-16; 26 – самописец; 27 – электронный диск 5 мбайт; 28 – 4-цветный растрочный дисплей; 29 – вакуумный пост; 30 – измеритель длин волн излучения

Широкодиапазонное сканирование линии генерации лазера осуществляется следующим образом. В цикле плавного сканирования линии генерации ТЭ и ДФ перестраиваются синхронно так, что длина волны излучения лазера изменяется на $\approx 7 \text{ см}^{-1}$. При этом перестройка частот двух генерируемых мод происходит небольшими скачками по 150 МГц, что соответствует области дисперсии резонатора лазера. В отличие от [4] при перестройке линии излучения двулучепреломляющий фильтр подстраивается к тонкому эталону без использования системы обратной связи по интенсивности отраженного от фильтра света. Подстройка фильтра к эталону при сканировании достигается выбором заданного соотношения управляющих сигналов для электромеханических приводов ДФ и ТЭ. В конце области плавного сканирования система сбора экспериментальных данных блокируется, тонкий эталон быстро возвращается назад (за $\sim 10 \text{ мкс}$), так что генерация в следующем цикле плавного сканирования происходит на соседнем пике пропускания эталона, причем начало следующего цикла сканирования перекрывается с концом предыдущего цикла примерно на $0,3 \text{ см}^{-1}$ для удобства сшивки регистрируемых участков спектра. Далее система сбора информации деблокируется и сканирование линии генерации продолжается. Используемый способ синхронной перестройки селекторов и сшивки областей плавного сканирования позволяет упростить программное управление спектрометром, расширить возможности микроЭВМ при управлении спектрометром в реальном масштабе времени.

Для контроля спектральных характеристик лазера использованы следующие устройства. Для контроля плавности и линейности перестройки длины волны излучения применяется конфокальный интерферометр Фабри–Перо с областью дисперсии 15 ГГц (так называемый «маркер»). Прошедшее через него излучение падает на фотоприемник, сигнал с которого регистрируется одновременно с сигналом ОАД. Длина волны излучения лазера в начале и конце каждой области плавного сканирования контролируется с помощью измерителя длин волн ИДВ-2. Для получения оперативной информации о спектральном составе излучения служит система визуального контроля спектра генерации лазера, описанная в [5].

Для регистрации сигналов оптико-акустических детекторов используется метод частотной модуляции излучения. (Спектрометром регистрируется первая производная спектра поглощения по часто-

те). Модуляция производится тонким эталоном с частотой 64 Гц и амплитудой 0,75 ГГц. Амплитуда модуляции выбирается из условия получения максимального сигнала ОАД при совпадении линии излучения лазера с линией поглощения исследуемого вещества. Сигналы с оптико-акустических детекторов и фотоприемника, регистрирующего прошедшее через интерферометр-маркер излучение, детектируются синхронно на частоте модуляции с помощью соответственно двух фазочувствительных нановольтметров «UNIPAN 232 В» и лабораторного синхронного детектора с аналогичными характеристиками. Для дальнейшей регистрации и обработки сигналов, а также для управления сканированием линии излучения лазера используется диалогово-вычислительный комплекс ДВК-ЗМ2 и аппаратура КАМАК.

Регистрация сигналов после синхронного детектирования осуществляется с помощью 10-разрядного АЦП с коммутатором. Получаемые первые производные спектров поглощения по частоте, а также первая производная спектра пропускания по частоте интерферометра-маркера отображаются четырехцветным растровым дисплеем в реальном масштабе времени. В конце цикла плавного сканирования массивы экспериментальных данных записываются в виде файлов данных на электронный диск емкостью 0,5 Мбайт. В конце любого цикла плавного сканирования можно получить твердую копию последнего массива экспериментальных данных в графическом виде с помощью привода плоттера и самописца «ЭНДИМ 622.01». Управление электромеханическими приводами селекторов производится через 12-разрядный ЦАП и модуль управления шаговым двигателем, описанный в [6]. Лазером накачки служит аргоновый лазер ILA-120-1 с мощностью излучения во всех линиях 2,7 Вт.

В спектрометре используются два идентичных нерезонансных ОАД с плоскими конденсаторными микрофонами и две ячейки длиной 25 и диаметром 1 см. Чувствительность ОАД равна примерно $10\div100 \text{ В/Вт} \cdot \text{см}^{-1}$, что при мощности $\sim 10 \text{ Вт}$ и постоянной времени интегрирования $\tau = 0,3 \text{ с}$ обеспечивает пороговую чувствительность по коэффициенту поглощения $< 1 \cdot 10^{-8} \text{ см}^{-1}$.

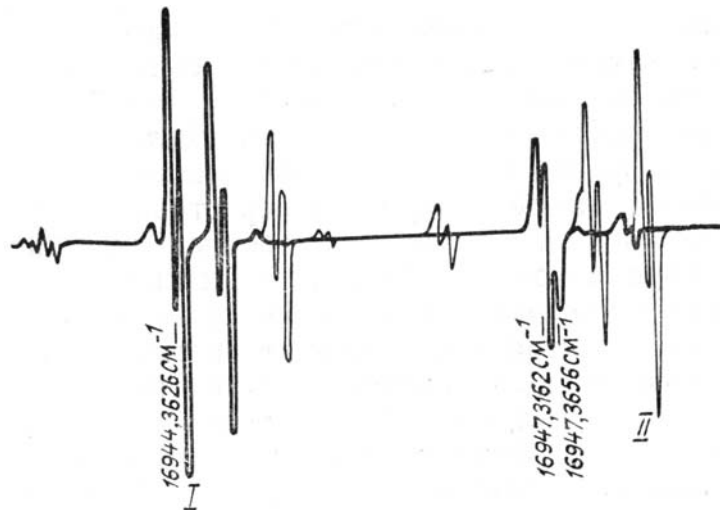


Рис. 2. Спектры поглощения паров H_2O I (жирные кривые) и паров смеси H_2O и D_2O II (светлые) в районе $16948,002\div16943,128 \text{ см}^{-1}$

Для разделения спектров поглощения H_2O , HD^{16}O и D_2O в один ОАД напускались пары H_2O , а во второй — пары смеси ($2\text{H}_2\text{O} + 2\text{D}_2\text{O} \rightleftharpoons \text{H}_2\text{O} + \text{D}_2\text{O} + 2\text{HD}^{16}\text{O}$) (рис. 2). Кроме того, так как спектр H_2O в видимой области спектра достаточно хорошо изучен [7] и центры линий поглощения известны с точностью до $0,02\div0,005 \text{ см}^{-1}$, линии поглощения H_2O использовались как реперные. В результате проведенного анализа к линиям поглощения HD^{16}O была отнесена 251 линия.

Анализ спектра. Для анализа спектра из литературных данных были определены колебательно-вращательные постоянные α_i , β_{ij} молекулы HD^{16}O , которые затем использовались для расчета вращательных постоянных A , B , C для состояний, перечисленных в табл. 1. Далее, с полученных таким образом начальным приближением для колебательного состояния (005) рассчитывался спектр поглощения полосы $5v_3$ HD^{16}O и для наиболее сильных линий определялись комбинационные разности нижнего состояния, уровни энергии которого рассчитывались по спектроскопическим постоянным из [8].

В дальнейшем задача интерпретации линий заключалась в поиске необходимых комбинационных разностей. Поскольку ошибка в расчете частот переходов определялась, в основном, неточным значением центра полосы, то поиск проводился в широких интервалах по центру ($\pm 25 \text{ см}^{-1}$ от начального значения) по специально разработанной программе. Такой подход оказался весьма эффективным и позволил быстро определить из спектра центр полосы $5v_3$ (он оказался равным $16920,024 \text{ см}^{-1}$, что на 21 см^{-1} превышает начальное значение) и уровни энергии для $J = 1, 2$. Далее идентификация спектра проводилась как обычно, параллельно с решением обратной задачи. Как и предполагалось, в спектре присутствовали как переходы типа « A », так и переходы типа « B ».

Таблица 2

Спектр поглощения молекулы HD¹⁶O в диапазоне 16746 ... 17012 см⁻¹

Центр линии	$\Delta \cdot 10^3$	Тип перехода	Интенсивность	J'			J	K_a	K_e
					5	6			
1	2	3	4						
16746,964	1	A	1,5E-01	7	6	2	7	6	1
16746,964	0	A	1,5E-01	7	6	1	7	6	2
16747,099	-12	A	1,3E-01	5	4	1	6	4	2
16747,099	--16	A	1,3E-01	5	4	2	6	4	3
16748,000	- 5	B	1,9E-02	4	2	2	5	3	3
16748,848	9	A	3,5E-01	6	6	1	6	6	0
16748,848	9	A	3,5E-01	6	6	0	6	6	1
16750,129	- 7	A	4,0E-01	8	1	7	9	1	8
16761,718*	28	A	4,0E-01	6	3	3	7	3	4
16763,074*	13	A	4,7E-01	7	2	5	8	2	6
16764,405*	41	A	6,4E-02	4	4	0	5	4	1
16764,405*	34	A	6,4E-02	4	4	1	5	4	2
16765,452	- 2	A	5,7E-01	7	2	6	8	2	7
16765,676	6	B	5,4E-02	8	0	8	9	1	9
16765,776	0	A	7,1E-01	8	1	8	9	1	9
16766,032	0	A	7,1E-01	8	0	8	9	0	9
16766,147	8	B	5,4E-02	8	1	8	9	0	9
16769,313*	29	A	3,6E-05	4	1	4	4	3	1
16771,420*	-30	A	9,2E-04	9	0	9	9	2	8
16771,602	- 8	A	6,3E-01	7	1	6	8	1	7
16775,437*	-34	B	2,4E-02	6	1	5	7	2	6
16775,915*	-22	B	3,9E-02	2	2	1	3	3	0
16776,824	-13	B	1,3E-02	7	2	6	8	1	7
16778,956*	17	A	4,2E-01	5	3	3	6	3	4
16781,919	- 4	A	6,8E-01	6	2	4	7	2	5
16784,434	-11	A	7,6E-01	6	2	5	7	2	6
16785,060	4	B	7,5E-02	7	0	7	8	1	8
16785,313	8	A	1,0E+00	7	1	7	8	1	8
16785,745	- 2	A	1,0E+00	7	0	7	8	0	8
16785,995	- 1	B	7,3E-02	7	1	7	8	0	8
16788,767	- 4	B	2,6E-02	5	1	4	6	2	5
16789,285	- 5	A	9,1E-03	10	5	6	10	5	5
16790,036	0	B	7,8E-03	3	1	3	4	2	2
16790,486*	--29	A	1,7E-03	8	0	8	8	2	7
16791,862	4	A	2,5E-02	9	5	5	9	5	4
16791,979	- 1	A	9,0E-01	6	1	5	7	1	6
16792,682	6	A	2,5E-02	9	5	4	9	5	5
16793,255	-13	A	2,9E-03	7	1	6	7	3	5
16794,364	8	A	6,6E-02	8	5	3	8	5	4
16796,142	20	A	3,4E-01	4	3	1	5	3	2
16796,227	- 5	A	1,6E-01	7	5	2	7	5	3

Продолжение табл. 2

I	2	3	4	5	6		
16796,332	9	A	3,4E-01	4	3	2	5
16798,088	6	A	3,7E-01	6	5	2	6
16798,088	- 4	A	3,7E-01	6	5	1	6
16799,070	- 4	A	2,5E-04	4	1	3	4
16799,817	2	A	8,4E-01	5	5	1	5
16799,817	1	A	8,4E-01	5	5	0	5
16800,015	12	A	8,4E-01	5	2	3	6
16800,933	9	B	2,7E-02	4	1	3	5
16802,606*	-17	A	8,8E-01	5	2	4	6
16803,460	-13	B	9,4E-02	6	0	6	7
16804,035	- 2	A	1,3E+00	6	1	6	7
16804,760	2	A	1,3E+00	6	0	6	7
16805,323	0	B	8,9E-02	6	1	6	7
16811,139	0	A	1,1E+00	5	1	4	6
16812,863	- 2	B	2,7E-02	3	1	2	4
16813,260	- 4	A	1,5E-01	3	3	0	4
16814,561	5	B	1,4E-02	2	1	2	3
16817,673	- 3	A	8,6E-01	4	2	2	5
16820,130	13	A	8,6E-01	4	2	3	5
16820,752	11	B	1,0E-01	5	0	5	6
16821,968	4	A	1,5E+00	5	1	5	6
16823,043	2	A	1,5E+00	5	0	5	6
16823,683	-11	A	6,1E-03	10	4	7	10
16824,275	10	B	9,4E-02	5	1	5	6
16824,603	8	A	2,8E-03	7	1	7	7
16824,603	2	A	4,5E-03	9	7	3	8
16824,603	1	A	4,5E-03	9	7	2	8
16825,001	10	B	1,0E-02	5	2	4	6
16825,300	0	B	2,7E-02	2	1	1	3
16825,994	1	B	1,4E-02	4	2	2	4
16829,319	- 6	A	1,2E+00	4	1	3	5
16833,934	- 3	A	4,8E-02	8	4	5	8
16835,190	0	A	6,5E-01	3	2	1	4
16835,544*	-26	A	5,0E-03	8	2	7	8
16835,708	-12	A	5,1E-03	5	0	5	5
16836,606*	-20	B	1,0E-01	4	0	4	5
16836,788	- 3	A	1,2E-01	7	4	4	7
16837,070	2	A	6,4E-01	3	2	2	4
16838,232	- 7	A	4,4E-02	8	4	4	8
16838,328	-12	A	1,1E-01	7	4	3	7
16838,952	- 6	A	2,9E-01	6	4	3	6
16839,094	- 3	A	1,5E+00	4	1	4	5
16839,395	- 7	A	2,8E-01	6	4	2	6

Продолжение табл. 2

1	2	3	4	5	6		
16840,540	— 5	A	1,6E+00	4	0	4	5 0 5
16840,741	— 5	A	6,6E—01	5	4	2	5 4 1
16840,827	--11	A	6,6E—01	5	4	1	5 4 2
16842,255*	—28	A	1,4E+00	4	4	1	4 4 0
16842,255*	—38	A	1,4E+00	4	4	0	4 4 1
16846,920	— 3	A	1,1E+00	3	1	2	4 1 3
16850,985*	—18	B	8,2E—02	3	0	3	4 1 4
16851,992	— 5	A	1,8E—03	3	0	3	3 2 2
16852,539	1	A	2,7E—01	2	2	0	3 2 1
16853,346*	14	A	2,0E—02	8	3	6	8 3 5
16853,595	— 4	A	2,7E—01	2	2	1	3 2 2
16855,285	8	A	1,2E—02	7	2	6	7 2 5
16855,285*	--14	A	9,9E—03	7	6	2	6 6 1
16855,285*	—15	A	9,9E—03	7	6	1	6 6 0
16855,493	3	A	1,3E+00	3	1	3	4 1 4
16857,222	— 7	A	1,5E+00	3	0	3	4 0 4
16861,680*	—36	B	5,6E—02	3	1	3	4 0 4
16862,495*	23	A	5,6E—02	7	3	5	7 3 4
16864,227	— 1	A	8,3E—01	2	1	1	3 1 2
16865,349	6	A	9,4E—03	5	1	5	5 1 4
16868,789	3	A	2,0E—02	8	6	3	7 6 2
16868,789	— 4	A	2,0E—02	8	6	2	7 6 1
16871,231	1	A	9,0E—01	2	1	2	3 1 3
16872,044	1	A	3,3E—01	5	3	3	5 3 2
16873,243	9	A	1,1E+00	2	0	2	3 0 3
16874,317	6	A	7,8E—01	4	3	2	4 3 1
16874,858	14	A	3,2E—01	5	3	2	5 3 3
16875,815	4	A	1,8E+00	3	3	1	3 3 0
16875,922	4	A	1,8E+00	3	3	0	3 3 1
16876,127	—10	A	1,2E—01	6	3	3	6 3 4
16879,595*	—14	A	4,3E—02	7	3	4	7 3 5
16880,280	—11	B	2,7E—02	2	1	2	3 0 3
16881,397	13	A	3,4E—01	1	1	0	2 1 1
16881,990	12	A	1,8E—02	4	1	4	4 1 3
16882,181*	26	A	2,2E—02	9	6	4	8 6 3
16882,181	— 6	A	2,2E—02	9	6	3	8 6 2
16883,503	0	A	8,0E—02	5	2	4	5 2 3
16885,381	8	A	1,4E—02	8	3	5	8 3 6
16886,415	— 2	A	3,5E—01	1	1	1	2 1 2
16887,424	1	A	1,8E—03	10	2	8	9 4 5
16888,909	2	A	6,6E—01	1	0	1	2 0 2
16891,284	4	A	3,4E—02	6	5	2	5 5 1
16891,284	— 4	A	3,4E—02	6	5	1	5 5 0

Продолжение табл. 2

1	2	3	4	5	6		
16891,936	19	A	2,0E-01	4	2	3	4
16895,421	10	A	4,1E-02	3	1	3	3
16895,562	2	A	1,8E-02	10	6	4	9
16897,042	-4	A	5,0E-01	3	2	2	3
16898,114	-3	A	1,5E-04	3	0	3	2
16898,373	-6	B	6,9E-02	2	0	2	2
16899,700*	-19	A	1,3E+00	2	2	1	2
16900,494	-15	A	3,7E-03	7	1	6	6
16900,672	-4	A	1,3E+00	2	2	0	2
16901,464	3	A	1,4E-03	10	3	7	10
16901,632	-5	A	4,7E-01	3	2	1	3
16904,515	-2	A	1,9E-01	0	0	0	1
16904,628	-1	A	1,7E-01	4	2	2	4
16905,025	6	A	7,4E-02	7	5	3	6
16905,069	10	A	7,4E-02	7	5	2	6
16905,430	-6	A	1,0E-01	2	1	2	2
16907,531	11	A	1,9E-03	5	0	5	4
16909,920	4	A	6,7E-02	5	2	3	5
16912,043	-4	A	4,0E-01	1	1	1	1
16917,175	4	A	2,6E-02	6	2	4	6
16917,752	-8	A	4,0E-01	1	1	0	1
16918,888	14	A	8,6E-02	8	5	3	7
16922,552	-10	A	1,0E-01	2	1	1	2
16925,695*	-27	A	1,0E-02	7	2	5	7
16929,523	7	A	4,4E-02	3	1	2	3
16932,063	2	B	4,3E-02	1	1	0	1
16932,225	13	A	7,5E-02	9	5	5	8
16932,689	3	A	2,1E-01	6	4	3	5
16932,899	0	A	7,4E-02	9	5	4	8
16933,038	4	A	2,1E-01	6	4	2	5
16934,516	0	B	8,7E-02	2	1	1	2
16935,064	-15	A	2,1E-01	1	0	1	0
16936,963	-2	A	2,0E-01	4	3	2	3
16937,474	-7	A	2,0E-01	4	3	1	3
16938,178	0	A	2,1E-02	4	1	3	4
16939,540	0	B	1,3E-01	6	2	4	6
16940,098	-4	B	7,7E-02	6	3	3	6
16940,565	0	B	7,4E-02	3	2	1	3
16941,738*	28	B	1,6E-02	8	4	5	8
16941,810	-2	A	4,0E-01	2	1	2	1
16945,179	-5	A	3,4E-01	3	2	2	2
16945,595	0	A	5,3E-02	10	5	6	9
16946,530	19	A	2,7E-01	7	4	4	6

Продолжение табл. 2

1	2	3	4	5	6
16947,700	6	A	2,6E-01	7 4 3	6 4 2
16947,759	2	A	3,3E-01	3 2 1	2 2 0
16948,200	7	A	4,0E-01	2 1 1	1 1 0
16948,688	— 8	B	3,2E-02	4 3 1	4 2 2
16949,052	— 3	A	7,6E-01	2 0 2	1 0 1
16950,238	4	B	2,3E-02	9 2 7	9 1 8
16950,966	0	A	4,9E-01	5 3 3	4 3 2
16952,853*	21	A	4,8E-01	5 3 2	4 3 1
16953,179	2	B	3,6E-02	6 3 4	6 2 5
16953,752	7	A	1,1E+00	3 1 3	2 1 2
16956,127*	14	B	4,3E-02	2 1 2	1 0 1
16957,304*	22	A	6,4E-03	6 1 5	6 1 6
16957,404*	33	B	3,0E-02	4 2 3	4 1 4
16958,370	6	A	8,7E-01	4 2 3	3 2 2
16958,602*	—44	A	3,2E-02	11 5 7	10 5 6
16959,573	—10	B	3,6E-02	6 1 5	6 0 6
16960,022	16	A	2,5E-01	8 4 5	7 4 4
16961,213	0	A	1,4E+00	3 0 3	2 0 2
16961,601*	—32	B	2,8E-02	5 2 4	5 1 5
16963,626*	29	A	1,4E-03	4 2 3	4 0 4
16963,725	3	A	1,0E+00	3 1 2	2 1 1
16964,397	10	A	6,6E-01	6 3 4	5 3 3
16964,582	11	A	1,7E+00	4 1 4	3 1 3
16965,549	— 3	A	2,4E-03	5 2 4	5 0 5
16966,995	—16	B	2,0E-02	7 1 6	7 0 7
16969,237	— 4	A	6,1E-01	6 3 3	5 3 2
16970,460	4	A	1,2E+00	5 2 4	4 2 3
16971,172	11	A	1,9E+00	4 0 4	3 0 3
16972,911	0	A	1,9E-01	9 4 6	8 4 5
16974,200	3	A	2,1E+00	5 1 5	4 1 4
16976,142	— 1	A	1,6E-03	8 2 7	8 0 8
16976,490	— 2	B	4,0E-02	2 2 1	1 1 0
16978,105	5	A	1,6E+00	4 1 3	3 1 2
16979,210	10	A	2,1E+00	5 0 5	4 0 4
16979,792	— 2	B	3,0E-02	2 2 0	1 1 1
16981,720	4	A	1,1E+00	5 2 3	4 2 2
16982,635	16	A	2,2E+00	6 1 6	5 1 5
16985,970	— 3	A	2,2E+00	6 0 6	5 0 5
16986,860	10	A	5,8E-01	7 3 4	6 3 3
16987,925	— 1	B	4,2E-02	3 2 2	2 1 1
16988,220	— 2	A	5,5E-01	8 3 6	7 3 5
16989,912	15	A	2,0E+00	7 1 7	6 1 6

Продолжение табл. 2

1	2	3	4	5	6			
16990,531	6	A	1,2E+00	7	2	6	6	2
16990,671	8	A	1,8E+00	5	1	4	4	1
16991,964	15	A	2,0E+00	7	0	7	6	0
16995,429	-14	B	3,7E-02	8	1	7	7	2
16996,016	0	B	1,3E-01	8	0	8	7	1
16996,114	-8	A	1,7E+00	8	1	8	7	1
16997,312	12	A	1,6E+00	8	0	8	7	0
16997,397	-9	B	1,3E-01	8	1	8	7	0
16998,003	17	A	3,9E-01	9	3	7	8	3
16998,042	8	A	1,2E+00	6	2	4	5	2
16998,230	-1	A	9,9E-01	8	2	7	7	2
17000,664	2	A	1,6E+00	6	1	5	5	1
17001,388	3	A	1,2E+00	9	1	9	8	1
17002,023	-8	A	1,2E+00	9	0	9	8	0
17005,018	-13	A	4,6E-01	8	3	5	7	3
17005,660	-1	B	3,0E-02	6	6	1	5	5
17005,660	-1	B	3,0E-02	6	6	0	5	5
17005,797*	33	A	8,7E-01	10	1	10	9	1
17005,980	6	A	2,5E-01	10	3	8	9	3
17006,170*	44	B	7,2E-02	10	1	10	9	0
17007,641*	-24	A	1,3E+00	7	1	6	6	1
17009,319	0	A	5,5E-01	11	1	11	10	1
17010,851	-2	A	1,9E-03	3	2	1	2	0
17011,936	-17	A	9,7E-01	8	1	7	7	1
17012,091*	21	A	1,4E-01	11	3	9	10	3

В табл. 2 представлены основные характеристики спектра поглощения молекулы HD¹⁶O в диапазоне 16746...17012 см⁻¹. В первой графе приведен измеренный центр линии в обратных сантиметрах, затем величина Δ , равная разности между экспериментальным и рассчитанным значением центра линии, тип перехода, расчетная относительная интенсивность линии. В последних графах таблицы представлены квантовые числа J , K_a , K_c для верхнего и нижнего уровней. Звездочка означает, что данная линия не использовалась в решении обратной задачи. Относительные интенсивности нормированы на интенсивность линии 16785,745 см⁻¹, а для переходов типа «B» еще уменьшены в 10 раз, что примерно соответствует соотношению, наблюдаемому в спектре.

В результате из 251 линии поглощения HD¹⁶O, найденных в спектре, остались неинтерпретированными 29 линий. Все интерпретированные линии относятся к полосе 5v₃, линий других полос обнаружить не удалось.

При анализе спектра были определены 86 уровней энергии с $J \leq 11$ и $K_a \leq 7$ для состояния (005) HD¹⁶O. Эти данные представлены в табл. 3, в скобках приведены среднеквадратические ошибки для уровней и разности Δ между расчетными и экспериментальными значениями. Уровни энергии, как правило, определялись по двум-трем линиям. В тех случаях, когда среднеквадратическая ошибка в табл. 3 не приведена, то уровень определен по центру одной линии. В основном это уровни энергии, соответствующие большим значениям квантовых чисел J и K_a .

Таблица 3
Уровни энергии состояния (005) HD¹⁶O (см⁻¹)

J	K _a	K _c	E _{эксп}	$\Delta \cdot 10^3$	J		K _a	K _c	E _{эксп}	$\Delta \cdot 10^3$
					1	2				
0	0	0	16920,023		2	6	5	1	17507,254 (1)	4
1	0	1	16935,073 (13)		7	6	6	1	17621,634 (7)	-4
1	1	1	16944,542 (4)		2	6	6	0	17621,634 (7)	-3
1	1	0	16947,571 (10)	-2	7	0	7		17298,268 (9)	-5
2	0	2	16964,563 (8)	0	7	1	7		17298,519 (7)	-7
2	1	2	16971,620 (4)	1	7	1	6		17370,159 (3)	13
2	1	1	16980,691 (4)	-2	7	2	6		17375,397 (10)	3
2	2	1	17008,985 (1)	3	7	3	4		17456,523	-10
2	2	0	17009,600 (2)	3	7	4	4		17520,408 (16)	-7
3	0	3	17007,382 (3)	3	7	4	3		17521,658 (10)	6
3	1	3	17011,877 (4)	-5	7	5	3		17614,191	-6
3	1	2	17029,907 (5)	0	7	5	2		17614,235 (4)	3
3	2	2	17054,108 (3)	2	7	6	2		17728,092	0
3	2	1	17057,025 (3)	0	7	6	1		17028,092	0
3	3	1	17108,866	-4	8	0	8		17400,465 (6)	-4
3	3	0	17108,941 (6)	0	8	1	8		17400,564 (7)	3
4	0	4	17062,494 (12)	-3	8	1	7		17485,857 (5)	13
4	1	4	17064,965 (11)	-3	8	2	7		17488,657 (1)	2
4	1	3	17094,561 (6)	0	8	3	6		17565,124	3
4	2	3	17113,763 (5)	-10	8	3	5		17586,990 (15)	3
4	2	2	17121,669 (2)	2	8	4	5		17643,335 (13)	-6
4	3	2	17169,992 (6)	-4	8	4	4		17646,794	7
4	3	1	17170,533 (15)	0	8	5	3		17736,897 (4)	-10
5	0	5	17129,364 (5)	-8	8	6	3		17849,917	-2
5	1	5	17130,583 (1)	-4	8	6	2		17849,917	4
5	1	4	17173,647 (5)	0	9	0	9		17514,538	9
5	2	4	17187,500 (6)	-2	9	1	9		17514,594	-2
5	2	3	17203,558 (4)	-6	9	2	7		17685,972	-4
5	3	3	17246,453 (1)	0	9	3	7		17699,622	-17
5	3	2	17248,523	-13	9	4	6		17781,473	0
5	4	2	17320,994 (7)	11	9	5	5		17874,751 (6)	-8
5	4	1	17321,069 (1)	12	9	5	4		17875,463 (4)	-4
5	5	1	17415,786	-2	9	7	3		18119,438	0
5	5	0	17415,786	0	9	7	2		18119,438	0
6	0	6	17207,914 (8)	5	10	2	8		17839,058	0
6	1	6	17208,482 (3)	1	10	3	8		17847,346	-5
6	1	5	17265,894 (6)	4	10	3	7		17897,256	-3
6	2	5	17274,861	11	10	4	7		17934,441	11
6	2	4	17302,046 (4)	0	10	5	6		18028,375 (4)	4
6	3	4	17338,058 (7)	-5	10	6	4		18140,000	0

Продолжение табл. 3

1	2	3	4	5	6
6	3	3	17343,644 (3)	7	11
6	4	3	17412,926 (6)	2	11
6	4	2	17413,290 (8)	3	
6	5	2	17507,254 (1)	-5	

Несимметричное изотопозамещение в молекуле воды сильно изменяет соотношение между частотами трех нормальных колебаний. Для молекулы H_2O выполняются приближенные равенства $\omega_1 \approx 2\omega_2 \approx \omega_3$, приводящие, как известно, к резонансам Кориолиса, Ферми и Дарлинга—Деннисона между состояниями типа $v_1v_2v_3$ и $v_1\pm 1 v_2v_3\mp 1$, $v_1v_2\pm 2 v_3\mp 1$, $v_1\pm 2, v_2v_3\mp 2$, $v_1\pm 1 v_2\mp 2v_3$. Вследствие этого колебательные состояния H_2O объединяются в полиады состояний, связанных резонансными взаимодействиями. Например, линии полос поглощения воды, попадающих в район около 0,59 мкм, образуются переходами на уровни, принадлежащие полиаде из 21 колебательного состояния. Для молекулы HD^{16}O имеется только одно приближенное соотношение $\omega_1 \approx 2\omega_2$, приводящее к резонансам между состояниями типа $v_1v_2v_3$ и $v_1\pm 1 v_2\pm 2v_3$. При этом состояния типа (0 0 v) могут рассматриваться как изолированные, по крайней мере для малых значений J .

Вследствие этого для решения обратной задачи по определению вращательных и центробежных постоянных использовался гамильтониан Уотсона:

$$H = E + \left(A - \frac{B+C}{2} \right) J_z^2 + \frac{B+C}{2} J^2 - \Delta_K J_z^4 - \Delta_{JK} J_z^2 J^2 - \Delta_J J^4 + H_K J_z^6 + \\ + H_{KJ} J_z^4 J^2 + H_{JK} J_z^2 J^4 + H_J J^6 + L_K J_z^8 + P_K J_z^{10} + \frac{B-C}{2} J_{xy}^2 - \delta_K \{ J_z^2, J_{xy}^2 \} - \\ - 2\delta_J J^2 J_{xy}^2 + h_K \{ J^4, J_{xy}^2 \}, \quad (1)$$

где J_x, J_y, J_z — операторы углового момента, $J_{xy}^2 = J_x^2 - J_y^2$, $\{A, B\} = AB + BA$. В табл. 4 приведены найденные по уровням энергии спектроскопические постоянные для состояния (005) HD^{16}O и 68%-ные доверительные интервалы для них в единицах последних значащих цифр. Два параметра — H_{KJ} и L_K не варьировались и были положены равными аналогичным постоянным для основного колебательного состояния.

Таблица 4

Спектроскопические постоянные состояния (005) HD^{16}O (cm^{-1})

Параметр	Значение	Параметр	Значение
E	16920,0248 ₆ (23)	$\delta_J \cdot 10^4$	1,5064 ₆ (76)
A	18,51317 ₉ (72)	$H_K \cdot 10^5$	2,59 ₀ (15)
B	9,04438 ₉ (22)	$H_{KJ} \cdot 10^6$	-9,269
C	6,01198 ₅ (22)	$H_{JK} \cdot 10^6$	3,143 ₈ (85)
$\Delta_K \cdot 10^3$	8,165 ₉ (63)	$H_J \cdot 10^7$	1,63 ₀ (20)
$\Delta_{JK} \cdot 10^5$	3,7 ₉ (12)	$h_K \cdot 10^5$	1,981 ₆ (45)
$\Delta_J \cdot 10^4$	4,324 ₅ (36)	$L_K \cdot 10^7$	-2,512
$\delta_K \cdot 10^3$	1,531 ₈ (11)	$P_K \cdot 10^9$	3,45 ₃ (21)

Средняя ошибка восстановления экспериментальных уровней энергии с полученным набором параметров составляет $6 \cdot 10^{-3} \text{ см}^{-1}$. Процентное распределение уровней энергии по величине отклонения экспериментальных значений от расчетных выглядит следующим образом:

$$0 < \delta \leq 5 \cdot 10^{-3} \text{ см}^{-1} - 72 \% \text{ уровней};$$

$$5 \cdot 10^{-3} < \delta \leq 1 \cdot 10^{-2} \text{ см}^{-1} - 19 \% \quad “;$$

$$1 \cdot 10^{-2} < \delta \leq 1.8 \cdot 10^{-2} \text{ см}^{-1} - 9 \% \quad “.$$

Здесь $\delta = |E_{\text{эксп}} - E_{\text{расч}}|$. Таким образом, 91% всех уровней описывается с точностью выше $0,01 \text{ см}^{-1}$.

Найденные при решении обратной задачи вращательные постоянные A , B , C (18.513 , 9.044 , 6.011 см^{-1} соответственно) оказались весьма близкими к их начальным значениям (18.595 , 8.980 , 6.013 см^{-1}), что подтверждает корректность избранной модели и правильность интерпретации полосы.

В заключение отметим, что разработанный уникальный спектрометр видимого диапазона, имеющий высокую чувствительность и спектральное разрешение, позволяет проводить высокоточные измерения в спектрах поглощения. Впервые проведенный анализ спектра HD^{16}O в видимой области, и найденные спектроскопические параметры для высоковозбужденного колебательного состояния (005) уточняют наши представления о структуре энергетического спектра молекулы, позволяют улучшить расчеты предсказательного характера.

1. Быков А.Д., Кадошникова Т.М., Сабинина Г.Е., Сердюков В.И., Синицыа Л.Н. //Оптика атмосферы. 1989. Т. 2. № 9. С. 918–923.
2. Зуев В.Е., Пономарев Ю.Н. //ЖПС. 1986. Т. 45. № 1. С. 52–56.
3. Бондарев Б.В., Капитанов В.А., Кобцев С.М., Пономарев Ю.Н. //Оптика атмосферы. 1988. Т. 1. № 10. С. 18–25.
4. Кобцев С.М., Лунин В.М. //ПТЭ. 1989. № 1. С. 240–241.
5. Бондарев Б.В., Караблев А.В., Кобцев С.М., Макашев В.Т. //ПТЭ. 1989. № 5. С. 185–189.
6. Бутов И.В., Кобцев С.М. //ПТЭ. 1989. № 1. С. 243–246.
7. Samy-Peyret C., Flaud J.-M., Mandin J.-Y., Chevillard J.-P. et al. // J. Mol. Spectrosc. 1985. V. 113. P. 208–228.
8. Papineau N., Samy-Peyret C., Flaud J.-M., Guelachvili G. //J. Mol. Spectrosc. 1982. V. 92. P. 451–468.

Институт оптики атмосферы СО АН СССР,
Томск

Поступила в редакцию
20 октября 1989 г.

A. D. Bykov, V. A. Kapitanov, S. M. Kobtsev, O. V. Naumenko. **Observation and Analysis of the $5v_3$ HD^{16}O Absorption Band.**

A high-resolution spectrometer incorporating a two-frequency tunable dye laser and two intracavity photoacoustic cells has been used to provide measurements of deuterated water vapor absorption lines in the 590-nm wavelength region.

The results of theoretical analysis including line assignment, energy levels and rotational constants determination are presented.